

國產카올린의 吸着性에 關한 研究 (I)

國產카올린의 物性

李 啓 胤 · 鄭 強 朝*

忠南大學校 藥學大學 · 韓國化學研究所*

(Received April 18, 1985)

Studies on the Adsorptive Properties of Korean Kaolin (I)

Physico-chemical Properties of Korean Kaolin

Gye Ju Rhee, P.J. Chong*

College of Pharmacy, Chung Nam National University, Daejun 300-31 and
Korean Research Institute of Chemical Technology*, Daejun 300-31, Korea

Abstract—Innovated utilization of Korean kaolins as pharmaceuticals is attempted, for which relevant properties including adsorptive behaviours are observed in connection with their mineralogical structures. In practice, physico-chemical properties are assessed by means of IR, XRD and thermal analysis including DTA, TG and DSC. Elemental analysis of the ore specimens under investigation is carried out in conventional manners. It is found that the chemical compositions are varied significantly with sampling sites and primary classifications. The clay ores thus analyzed are mainly composed of halloysite species. Proper beneficiation of the raw clays is necessary so that authentic requirements for medicinal use may be satisfied. White-colored premium grade halloysite could be utilized as therapeutics with relative ease after purification. Evidence indicates that gibbsite-like impurities are intercalated between the 1 : 1 layered moieties. Thermal behaviours may be characterized in such a fashion that loss of free water occurs near 100°C and further heatings result in liberation of bound water near 500°C, with subsequent transformation into amorphous metastable entities. Through thermal activation, enhanced pharmaceutical effects could be envisaged.

礦業 및 化工分野의 중요한 產業素材 중의 하나인 高嶺土는 長石類를 많이 함유한 anorthosite, pegmatite 및 火山岩 등이 물, 이산화탄소 및 有機酸 등에 의하여 침식될 수 있는 地形的 조건에서 風化作用을 받아 형성된 粘土礦物^{1,2)}이다. 그 주산지는 慶南 河東과 山清 지역에 밀집되어 있고, 全北 裡里³⁾에서도 산출되고 있으며 국내 총 매장량은 약 칠천여만톤으로 추정⁴⁾된다.

醫藥品으로서의 카올린은 藥典⁵⁾을 비롯하여 USP⁶⁾, JP⁷⁾ 등에 수재된 公定醫藥品으로, 腸內異常 酶酵, 설사⁷⁾ 등에 吸着劑로 내복하고, 食中毒 알칼로이드中毒 및 기타 急性中毒에 解毒劑로 쓰이며, 創傷의 被覆, 細菌吸着의 목적으로 化膿傷, 濕疹 등에 撒布 또는 乾燥劑로 쓰인다.

그 밖에 製藥工業의 賦形劑와 알칼로이드抽出, 화장품 원료 및 衛生陶器, 도자기 및 타일 등에 다양으로 쓰이고 있다.

粘土礦物의 化學組成은 $(M_2^{II}O)_x \cdot (M^{II}O)_y \cdot (M^{III}_2O_3)_z \cdot (SiO_2)_m \cdot (H_2O)_n$ ⁸⁾의 일반식으로 나타낼 수 있으며, 結晶學的으로는 phyllosilicate에 속한다. 그 기본단위 組織은 Si—O 正四面體의 二次元配列과 Al(Mg)—O—OH 正八面體의 二次元配列이며, 이들 정사면체와 정팔면체층이 다시 독특한

방법으로 層上의 粘土礦物을 形成한다고 본다.

현재 우리나라는 高嶺土 原礦을 염가 수출하고 그 대신 精製品을 고가로 수입하고 있는 바, 아직 國產 高嶺土에 대한 醫藥的研究가 체계적으로 이루어진 바 없고, 특히 藥品物理化學的側面에서 그 物性이나 吸着性과 構造와의 相關性에 관한 연구가 없기에, 著者들은 國產高嶺土의 吸着性에 관한 物理化學的研究의 일환으로, 原礦의 化學的組成을 分析하고, IR, X-線回折 및 热分析法에 의하여 物性을 측정하고, 醫藥品으로 規格화하여 그 活用 可能性을 검토하였다.

實驗方法

試驗—실험에 사용한 高嶺土는 河東 및 山清產 粘土를 등급별로 현지에서 수집하여 음건하고, 물에 分散시켜 25%-slurry 상으로 하였다. 여기에 0.05%-sodium silicate를 가하여 peptize시킨 다음, 200매쉬로 篩別하고 적당한 凝集劑를 가하여 高嶺土粒子를 선택적으로 凝結시켰다.

이를 물로 씻은 다음, 산을 가하여 pH 3.5~4.0으로 조절하고, 하룻밤 방치하였다. 粘土層을 분리하여 上界에 따라 씻고 건조하여 분쇄한 다음 57%恒濕器에 일주일 이상 보관하여 항량으로 하였다.

化學的組成—粘土시료 일정량을 백금도가니에 넣고, 탄산나트륨을 가한 다음, 1,000~1,200°C로 알칼리용융시키고서 산으로 침출하여 분쇄용액⁹⁾으로 하고, 常法에 따라, Perkin Elmer, Model 403 原子吸光分光機를 사용하여, Na, Ca, Si, Al 및 Fe를 檢出 및 定量하였다.

規格試驗—醫藥品으로서의 規格基準을 大韓藥典⁵⁾ “카울린”항의 규격에 준하여 시험하였으며, 시료는 전처리에 의한 정제품을 사용하였다.

粒度分布—試料를 약 15%가 되도록 물에 分散시키고 Norton社 Milling Device(mill jar 1.5l) 분쇄기에 넣고, 일정한 시간 간격으로 분쇄하였다. 이를 건조 분쇄한 다음, 각 분말시료에 대하여, Micromeritics社 Sedigraph 5000D, particle size analyzer를 사용하여 粒度分布를 측정하였다.

赤外線吸收스펙트럼—Perkin Elmer, Model 783型 機種을 사용하여 KBr disc法으로 4000~400 cm⁻¹ 領域을 上界에 따라 측정하였다.

X線粉末回折像—Rikaku, Model 2028型 X線回折機를 다음의 조건으로 사용하였다. Target CuK α (Ni filter) 光源으로 回折角 5~65° 범위를 測定하고 ASTM의 XRD data에 의하여 結晶型을 確認하였다.

熱分析—DuPont, Model 1019 thermal analysis system을 사용하여 DSC(atm. N₂ 50ml/min., 10°C/min.)와 TGA(atm. N₂ 50ml/min., 10°C/min.)를 測定하였으며, Shimatzu, Model DT-2B型 示差熱分析機로 DTA(α -Al₂O₃, 10°C/min.)를 각각 測定하였다.

活性化—精製粘土를 105°, 200°, 280° 및 280°C vaccuo(10⁻⁴ torr)에서 5시간, 550°C에서 3시간 热處理하여 物性을 比較하였다.

實驗結果 및 考察

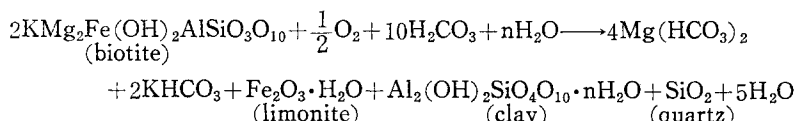
이상의 실현성적 결과를 고찰 분석하면 다음과 같다.

化學組成—Kaolin의 理論的 化學組成은 fully hydrated halloysite인 경우 Al₂O₃·2SiO₂·4H₂O로서 SiO₂ 40.85%, Al₂O₃ 34.66% 및 H₂O 24.47%이고, kaolinite와 dickite 및 nacrite(Al₂O₃·2SiO₂·2H₂O)는 SiO₂ 46.54%, Al₂O₃ 39.50% 및 H₂O 13.96%이다. 따라서 Table I의 分析值는 理論值와 一致하고 있는 것이 아니어서 組成式과 연관시킬 수는 없고 그 差異는 原礦중에 함유된 不純物과 分析誤差에 기인할 것으로 해석된다. 특히 鐵分함량이 외국산에 비하여 많으며 백색품

Table I—Chemical composition and physical constants of Korean Kaolin

Sample	Composition	SiO ₂ (%)	Al ₂ O ₃ (%)	Fe ₂ O ₃ (%)	CaO(%)	Na ₂ O(%)	Moisture content(%)	Sp.gr.(g/cc)
Hadong white A		41.9	38.5	0.7	<0.1	<0.1	2.5	2.53
Hadong white B		48.0	37.0	1.0	<0.1	<0.1	1.7	2.67
Hadong white C		43.6	35.7	1.2	<0.1	<0.1	2.1	2.66
Hadong pink A		41.3	39.0	0.7	<0.1	<0.1	1.9	2.67
Hadong pink B		46.0	37.2	1.6	0.9	0.2	1.9	2.63
Hadong pink C		45.5	36.7	2.6	0.6	0.3	2.0	2.60
Sanchung white A		43.6	38.5	0.6	<0.1	<0.1	2.5	2.56
Sanchung white B		45.9	38.2	1.2	<0.1	<0.1	2.4	2.56
Sanchung white C		45.3	39.2	1.8	0.6	<0.1	1.6	2.53
Sanchung pink A		42.9	39.0	1.0	<0.1	<0.1	1.5	2.52
Sanchung pink B		46.6	37.1	1.5	0.2	0.4	2.4	2.65
Sanchung pink C		43.6	38.5	2.1	0.7	0.3	1.9	2.71

보다 桃色品이 많이 함유된다. 이는 高嶺土母岩의 불순물에서 유래된 風化부산물 또는 未風化 잔여물로 간주된다. 따라서母岩의 鑽物組成과 構造, 降雨量, 地形 등 氣候條件에 의해서 不純物含量¹⁰⁾이 달라지며 粘土鑽物의 生成機轉은 다음과 같이 생각된다.



그 밖에 比重은 鑽物에 따라 2.52~2.71g/cc의 범위이고, 水分含量은 1.5~2.5%의 분포이다.

規格試驗—國產高嶺土에는 白色과 桃色의 두 가지가 있으나, 藥典⁵⁾에서 카올린의 性狀을 “백색 또는 백색에 가까운 부스러지기 쉬운 냉여리 또는 가루”라고 규정하고 있어서 高嶺土 중에서 백색품을 약용으로 규정한다고 해석된다. 純度試驗 중 pH가 4.0~7.5로 규정되어 있으나, 原鑽의 精製處理에 의해서 무난히 기준에 적합되었다. 鐵分試驗에 있어서는 桃色品이 白色品 보다 진하였으나 규격에는 적합하였고 乾燥減量은 시료에 따라 특히 低級品과 桃色品에 있어서 차이가 많지만 역시 규격에 적합하였다. 따라서 國產高嶺土中 白色品은 精製處理에 의하여 醫藥品으로 規格화할 수 있으며, 吸着力을 향상시킨다면 적접 醫藥品으로서 活用이 기대된다.

粒度分布—河東產 백색 일급품을 濕式粉碎하여 粒度分布를 時間에 대한 函數로 测定하면 Fig. 1과 같다.

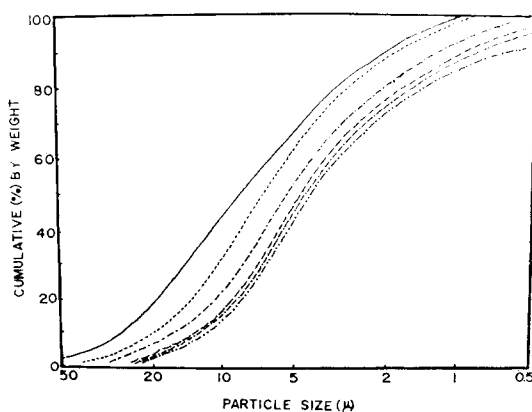


Fig.1—Particle size distribution of halloysite against pulverizing time (semi log plot).
Key: ——0.5 hrs,8 hrs, -·-·- 16 hrs,
—·— 24 hrs, -·— 36 hrs, -·— 48 hrs.

분쇄 시간이 증가함에 따라 10μ 이하의 粒度가 계속 증가하다가 24시간 이후부터는 粒度分布의 변화가 거의 없어진다. 즉 30분간 분쇄한 시료의 粒度分布는 10μ 이상이 54%이고 1μ 이하가 거의 없으나 24시간 분쇄한 시료는 10μ 이상이 15.5%이고 1μ 이하가 10%로서 $1\sim10\mu$ 범위의 粒度分布量이 74%에 이른다. 그러나 48시간 분쇄한 시료는 10μ 이상이 13%, 1μ 이하가 12%로서 $1\sim10\mu$ 分布量이 75%에 불과하여 거의 변화를 볼 수 없다. 따라서 濕式粉碎에 의한 분쇄능에는 限界性을 볼 수 있다.

IR스펙트럼—河東產 백색 일금품의 赤外線吸收스펙트럼은 Fig. 2에서 보는 바와 같이, 非活性화시료에 있어서는 附着水에 의하여 $3,700\sim3,400\text{cm}^{-1}$ 에서 넓은 吸收대를 나타내고活性화溫度가 증가함에 따라 附着水의 解離에 의해서 吸收대가 分離되기 시작한다. 280°C vaccuo에서 活性화시킨 시료는 $3,720\text{cm}^{-1}$ 와 $3,650\text{cm}^{-1}$ 領域으로 分離됨을 볼 수 있다. $3,720\text{cm}^{-1}$ 의 吸收는 會合性 물분자에 의한 無定形 silicate의 OH基의 伸縮振動이며 $3,650\text{cm}^{-1}$ 의 吸收는 結晶度가 높은 silicate의 OH基에 의한 伸縮振動이라고 해석되어 280°C vaccuo에서는 附着水가 거의 모두 離脫되었다고 생각된다. 그 밖에 $1,640\text{cm}^{-1}$ 부근의 OH基에 의한 變角振動과 $1,000\text{cm}^{-1}$ 및 900cm^{-1} 부근에서 特定한 silicate구조로 分類할 수 있는 吸收대도 함께 볼 수 있었다.

X線回折像—河東產 백색 일금품을 조건별로 活性화시키면서 관찰한 X線回折像是 Fig. 3~4와 같다.

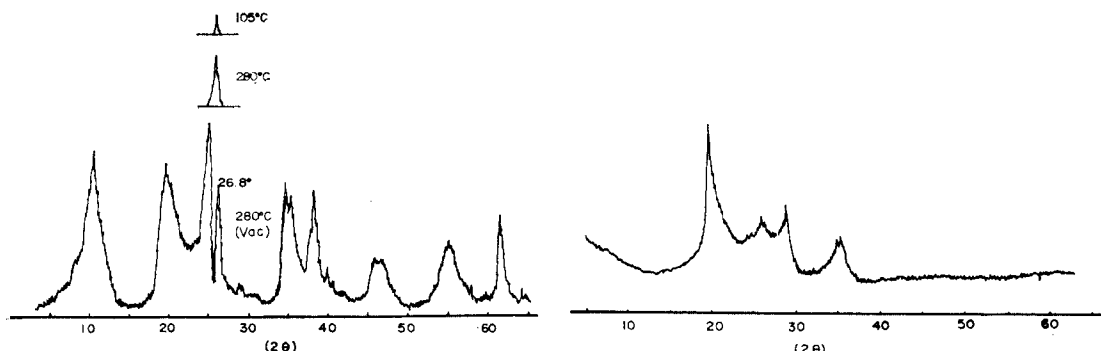


Fig. 2—IR spectra of halloysite activated at various conditions.

Fig. 2—IR spectra of halloysite activated at various conditions.

..... 105°C , ——— 280°C vacuo
- - - 200°C

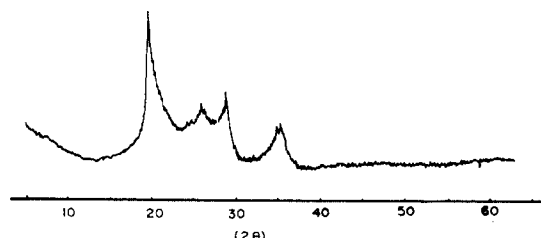
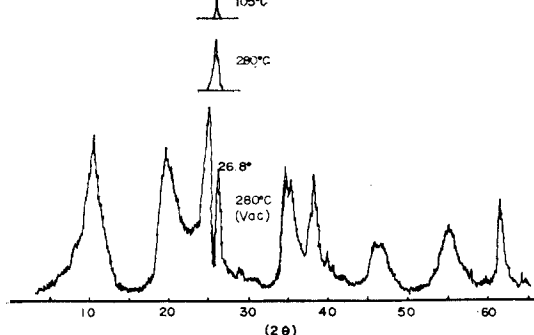


Fig. 3—X-ray powder diffractograms of halloysite activated at various conditions.

Fig. 4—X-ray powder diffractogram of halloysite calcined at 550°C for 3hrs.

Fig. 3에서 peak의 2θ 값을 ASTM XRD file로 부터 확인한 결과, 한국산 高嶺土는 그 主種이 鐵物學上 kaolin 중에서 halloysite임을 알 수 있고, 活性溫度를 높임에 따라 26.8° 面이 frame面에 평행한 방향으로 점차 발달함을 관찰할 수 있다. Fig. 4는 煙燒한 시료의 回折像으로 halloysite의 구조가 완전히 파괴되어 活性メ타體¹¹⁾로 변환된 것이다. 메타체는 본래 無定形이나 2θ 값 26.8° , 28° 및 35° 에서 peak를 갖는 것은 混在하는 gibbsite의 轉移임을 確認할 수 있다. 따라서 Fig. 3에서 活性溫度의 上昇과 더불어 발달하는 26.8° 面은 halloysite의 peak가 아니고 알루미나層에 인접한 gibbsite의 轉移點으로 판단된다.

粘土礦物²⁾의 대표적인 예로서는 kaolinite, pyrophyllite, montmorillonite, mica 및 illite 등을 들 수 있으나 鐵業法에는 高嶺土, 粘土, 酸性白土 및 벤토나이트 등을 총괄하여 高嶺土에 포함시키고 있다.

카울린은 化學組成과 X線回折像에 따라 鐵物學上 kaolinite, anauxite, dickite, nacrite 및 halloysite의 5가지로 분류하며 이 가운데 anauxite와 kaolinite는 구조가 비슷하여 동일한 것으로 나누어 4가지¹²⁾로 분류하기도 한다.

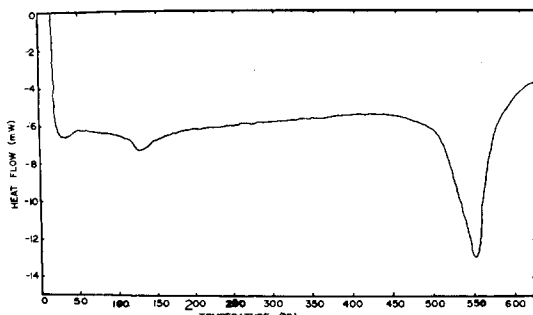


Fig. 5—DSC thermogram of halloysite activated at 105°C

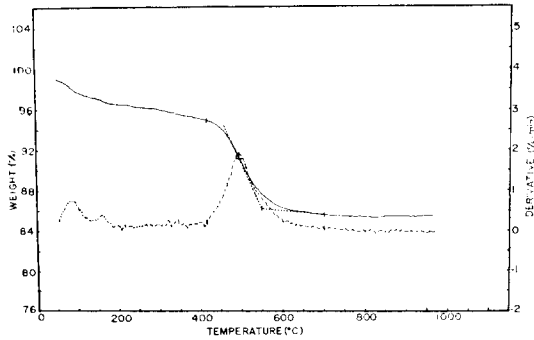


Fig. 6—TGA thermogram of halloysite activated at 105°C
—TGA Derivative

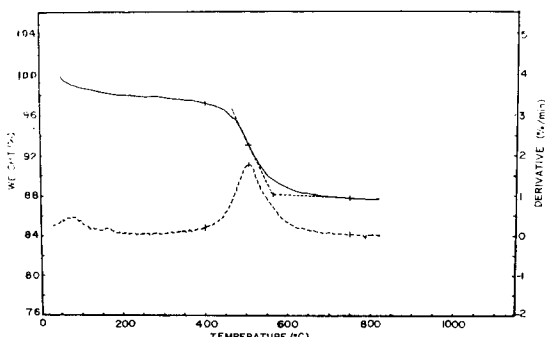


Fig. 7—TGA thermogram of halloysite activated at 280°C , vacuo.
—TGA,Derivative

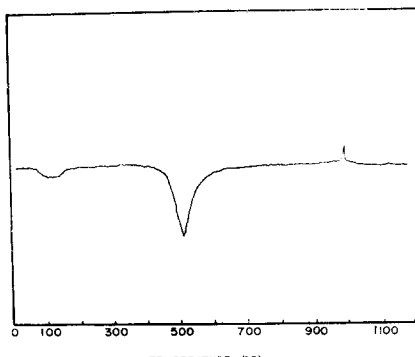


Fig. 8—DTA thermogram of halloysite activated at 280°C vacuo.

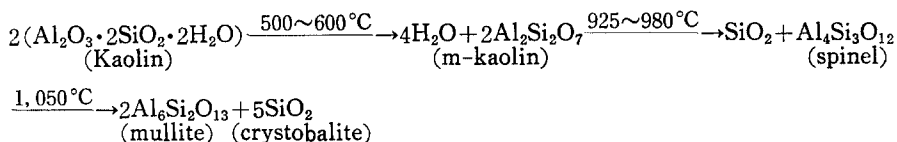
Halloysite의 이 상적인 조성은 $\text{Al}_2\text{O}_3 \cdot 2\text{SiO}_2 \cdot 2\text{H}_2\text{O}$ ($n\text{H}_2\text{O}$)로 표시하며 kaolinite와 비슷하나, 비교적 결��도가 낮고 모양이 管狀 또는 針狀 구조를 하고 있으며 水和物의 함량이 많다.

熱分析結果 河東產 白色 一級品의 热力學的 特性을 보면 Fig. 5~8와 같다.

105° 및 280° C vaccuo에서 活性化시킨 시료의 TGA, DTA 및 DSC 曲線을 보면 100°C부근에서 附着水의 脱水로 보이는 吸熱 peak와 重量減少를 볼 수 있고 특히 495~549°C에서 커다란 吸熱 peak와 重量減少를 수반하는 主反應을 볼 수 있다. 이 主反應은 halloysite의 結合水가 逸脫¹³⁾되는 -OH基의 상실이며, 아울러 halloysite구조는 活性메타體로 轉移되어 無定形의 알루미나와 실리카의 혼합물을 남긴다. 따라서 이 段階에서 많은 량의 알루미나를 鹽酸으로 溶出할 수가 있었다.

TGA曲線에서 보면 100°C부근에서의 減量은 105°C活性體가 280°C vaccuo活性體 보다 약 2% 많고, 500°C 부근에서는 양자의 減量이 9.3%로서 같으며, 1,000°C에서의 殘渣는 前者가 85.56%이고 後者가 87.76%로서 後者가 약간 많다. 이상은 105°C에서 附着水의 일부가 280°C에서 完全히 除去된 結果라고 생각되며 이는 IR스펙트럼과도 一致하는 現象이다.

Fig. 8에서 DTA曲線을 보면, 100°C 및 500°C 부근의 吸熱 peak는 DSC 및 TGA와 일치하며, 300°C부근의 약한 吸熱 peak는 不純物 gibbsite에 기인하는 것으로 이는 X-線回折像과 一致한다. 980°C부근의 發熱 peak는 質量變化가 없는 halloysite 自體構造의 붕괴 또는 相變異에 기인하는 것으로 추측된다. 即 Al-Si配列이 파괴되고 無定形알루미나와 실리카가 結晶화되어 $\gamma\text{-Al}_2\text{O}_3$ 또는 $\beta\text{-quartz}$ 로 變化되거나, 알루미나와 실리카가 再結合하여 Al-Si結合의 spinel型^{14), 15)}結合構造가 되는 것으로 생각된다. 이는 다시 1,100°C 근처에서 구조미상의 mullite와 crystobalite로 轉換된다. 즉



따라서 500°C 부근에서는 安全한 halloysite의 水素結合이나 van der Waals힘에 의한 結合水가 모두 逸脫되었으며, halloysite 구조는 파괴되었음은 X-線回折과 동일하다. 즉 halloysite는 層狀構造를 갖는 aluminosilicate系 粘土礦物로서 加熱하면 結合水 逸脫에 의하여 層間格子距離가 10.1Å에서 점차 7.2Å까지 短縮되고, 500°C 전후에서 活性型메타體로 相轉移가 일어난다. 따라서 halloysite의 活性화는 相轉移溫度 이하의 溫度에서 热處理함이 기대되며, 이 溫度에서는 halloysite의 層狀格子構造가 網狀構造를 유지하면서 內部表面積이 增加되는 것으로 생각된다.

結論

- 國產 高嶺土는 化學組成의 產地와 等級에 따라 相異하나, 그 主種의 鑿物學上 halloysite에 屬하며, 結晶層間に gibbsite를 混在한다.
- 白色高嶺土는 精製處理에 依하여 醫藥品으로 直接 活用이 期待된다.
- 高嶺土의 热力學的特性은 약 100°C에서 附着水를 잃고 약 500°C에서 結合水를 잃으면서 halloysite의 構造가 破壞되고 無定形 메타體로 轉移된다.

文 獻

1. F.D. Snell, L.S. Ettre, *Encyclopedia of Industrial Chemical Analysis* (Aluminum), Vol. 10, John Wiley N.Y. p.110 (1970).
2. 韓國의 鐵產物, 大韓鐵業振興公社, p.217 (1979).
3. ibid., Vol. 9, (非金屬編) p.119 (1981).
4. 이용선, “高嶺土의 活用”, 化學과 工業의 進步, 25, 716 (1983).
5. 藥典分科會, 大韓藥典 第四改正解說, 文星社, p.1017 (1982).
6. The U.S. pharmaceutical convention, USPXXI, p.579 (1985).
7. 日本 公定書協會, 日本藥局方解說書 X, p. D155 (1981).
8. Kirk-Othmer, *Encyclopedia of Chemical Technology* (ceramics), Vol. 5, John Wiley N.Y., p.234 (1982).
9. ASTM D511-76, “Standard Test Methods for Calcium ion and Magnesium ion in water,” (1972), ASTM C323-56 “Standard methods for chemical analysis of ceramic white ware clays,” (1972).
10. 이덕원, 전효태, 전용원, “하동·산청지역 고령토 및 수반불순물에 대한 광물학적 연구”, 大韓鐵業學會誌 19, 199 (1982).
11. R. Roy, D.M. Roy, E.E. Francis, *J. Amer. Ceram. Soc.*, 38, 198 (1955).
12. H.V. Olphen, *An Introduction to Clay Colloid Chemistry*, John Wiley & Sons N.Y., p.69 (1977).
13. R.N. Shreve, *The Chemical Process Industries*, McGraw-Hill N.Y. p.178 (1956).
14. A.W. Nicol, *Physico-chemical methods of mineral analysis*, Plenum Press, N.Y., p.249 (1975).
15. G.W. Brindley, M. Nakahira, The Kaolinite-Mullite Reaction Series 1, “A survey of outstanding problems,” *J. Amer. Ceram. Soc.*, 42, 311 (1959).